

Figure 3.19 — Construction du cercle horizon  $(h_N h_S)$  et des almicantarats de 9° en 9° pour la latitude  $\varphi=31$ °. Les nécessités de la mise en page ont conduit à une réduction des longueurs de 1/10 par rapport à celles du texte. Échelle 9/10.

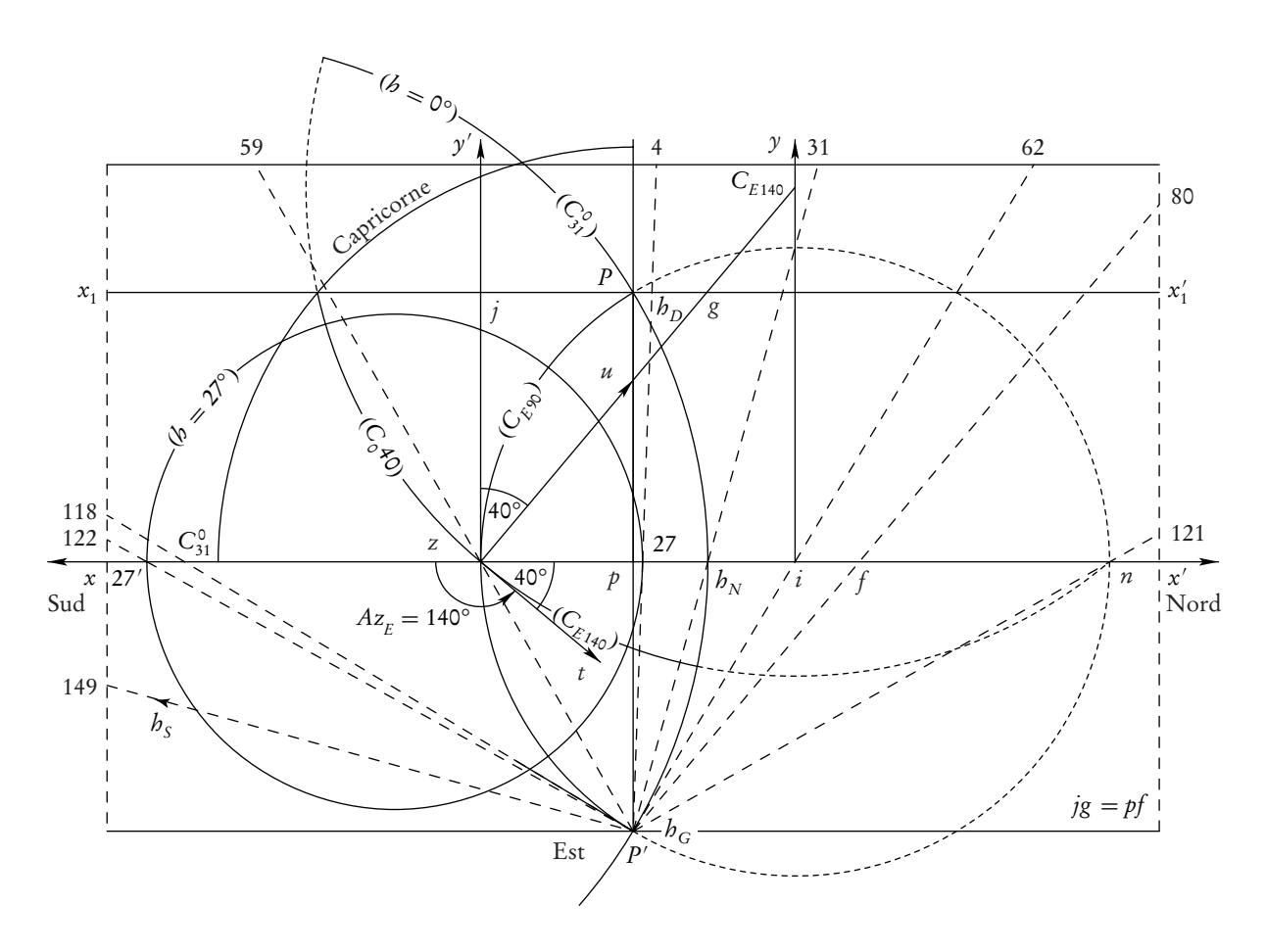


Figure 3.20 — Constructions au destour relatives au tympan de latitude  $\varphi=31^\circ$  ( $R_E=36,375$  mm).

P confondus avec  $h_G$  et  $h_D$ ; le cercle  $(C_{31}^0)(h=0)$  n'a été tracé que partiellement sur la figure 3.20.

Proposons-nous de tracer l'almicantarat  $h = 27^{\circ}$ 

$$\widehat{Ppg_{27}} = 31^{\circ} - 27^{\circ} = 4^{\circ}, \quad \widehat{PP'g_{27}} = \frac{4^{\circ}}{2} = 2^{\circ},$$

$$\widehat{Ppg'_{27}} = 180^{\circ} - (31^{\circ} + 27^{\circ}) = 122^{\circ}, \quad \widehat{PP'g'_{27}} = \frac{122^{\circ}}{2} = 61^{\circ}.$$

Traçons au destour (fig. 3.20) les directions P'4 vers le Nord et P'122 vers le Sud. Elles rencontrent xx' aux points 27 et 27'. Le cercle de diamètre 27 · 27' est l'almicantarat cherché.

## 3.4.2.2 Construction calculée des almicantarats et de la ligne crépusculaire ( $h = -18^{\circ}$ )

## 3.4.2.2.1 Construction des extrémités des diamètres

Sur la figure 3.19 A on a, pour les abscisses négatives, les angles au centre et angles inscrits ci-après :

$$\widehat{PPg}_{-18} = 31^{\circ} + 18^{\circ} \qquad \widehat{PP'g}_{-18} = \frac{31^{\circ} + 18^{\circ}}{2}$$

$$\widehat{PpH}_{N} = 31^{\circ} \qquad \widehat{PP'H}_{N} = \frac{31^{\circ}}{2}$$

$$\widehat{Ppg}_{9} = 31^{\circ} - 9^{\circ} \qquad \widehat{PP'g}_{9} = \frac{31^{\circ} - 9^{\circ}}{2}$$

$$\widehat{Ppg}_{18} = 31^{\circ} - 18^{\circ} \qquad \widehat{PP'g}_{18} = \frac{31^{\circ} - 18^{\circ}}{2}$$

$$\widehat{Ppg_{27}} = 31^{\circ} - 27^{\circ}$$
  $\widehat{PP'g_{27}} = \frac{31^{\circ} - 27^{\circ}}{2}$ 

Pour les abscisses positives :

$$\widehat{PPg_{36}} = 36^{\circ} - 31^{\circ} \qquad \widehat{PP'g_{36}} = \frac{36^{\circ} - 31^{\circ}}{2}$$

$$\widehat{Ppg_{45}} = 45^{\circ} - 31^{\circ} \qquad \widehat{PP'g_{45}} = \frac{45^{\circ} - 31^{\circ}}{2}$$

$$\vdots \qquad \vdots \qquad \vdots$$

$$\widehat{Ppg_{81}} = 81^{\circ} - 31^{\circ} \qquad \widehat{PP'g_{81}} = \frac{81^{\circ} - 31^{\circ}}{2}$$

En désignant par -18,  $h_N$ , 9, 18, ..., 81 les projections sur EE' des points  $g_{-18}$ ,  $H_N$ ,  $g_9$ ,  $g_{18}$ , ...,  $g_{81}$  avec  $R_E=36,375$  mm, on a :

$$p-18 = -R_E \operatorname{tg} \frac{31^\circ + 18^\circ}{2} = -16,57 \text{ mm}$$

$$ph_N = -R_E \operatorname{tg} \frac{31^\circ}{2} = -10,09 \text{ mm}$$

$$p9 = -R_E \operatorname{tg} \frac{31^\circ - 9^\circ}{2} = -7,07 \text{ mm}$$

$$p18 = -R_E \operatorname{tg} \frac{31^\circ - 18^\circ}{2} = -4,14 \text{ mm}$$

$$p27 = -R_E \operatorname{tg} \frac{31^\circ - 27^\circ}{2} = -1,27 \text{ mm}$$